

УДК 535.31 : 53.082.5

В. В. Вертопрахов

(Новосибирск)

## ВЛИЯНИЕ ФОРМЫ ОБЪЕКТА И ОРИЕНТАЦИИ ЕГО ПОВЕРХНОСТИ НА ТОЧНОСТЬ ЛАЗЕРНЫХ ТРИАНГУЛЯЦИОННЫХ ИЗМЕРЕНИЙ

Показано, что форма контролируемого объекта и ориентация его поверхности относительно зондирующего лазерного пучка вызывают методические погрешности триангуляционных измерений. Распределение интенсивности света на поверхности объекта с плоской и цилиндрической поверхностями не только уширяется с ростом угла наклона поверхности относительно направления распространения зондирующего пучка, но и принимает в общем случае асимметричную форму, что приводит к смещению энергетического центра светового пятна на поверхности объекта. Приведены зависимости этого смещения от расположения, ориентации и радиуса кривизны поверхности объекта.

**Введение.** Лазерная триангуляция в последнее время находит все большее применение при создании прецизионных измерительных датчиков и систем для решения широкого класса задач размерного контроля промышленных изделий в диапазоне от единиц миллиметров до метра с погрешностями от долей микрона до сотен микрон. Триангуляционный метод измерения расстояния от измерителя до поверхности объекта предполагает, что в оптическую схему измерителя включен сам контролируемый объект. Его характеристики (форма, характер поверхности и расположение относительно измерителя) могут существенно влиять на результаты триангуляционных измерений. Как правило, усилия исследователей были сосредоточены на изучении зависимостей точностных характеристик триангуляционных измерителей от схемных решений и свойств микроструктуры поверхности объекта (влияние спекла) [1]. При этом остались без внимания проблемы, связанные с влиянием на точность измерений формы контролируемого объекта и ориентации его поверхности относительно зондирующего лазерного пучка.

В настоящей работе представлены результаты исследований методических погрешностей триангуляционных измерений объектов с плоской и цилиндрической поверхностью.

**Лазерная триангуляция.** Суть триангуляционного метода иллюстрируется рис. 1. Лазерный гауссов пучок 1, распространяющийся вдоль оси  $z$ , освещает контролируемый объект 2 и создает на его поверхности световое пятно; рассеянный поверхностью свет собирается объективом 3, который формирует изображение пятна на линейном (или матричном) фотоприемнике 4. Изменение положения объекта вдоль оси  $z$  на  $\Delta z$  приводит к

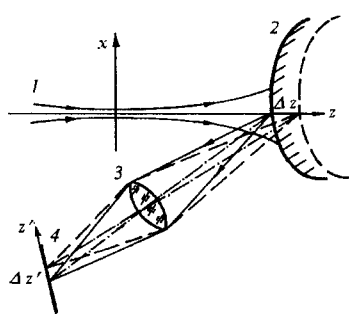


Рис. 1

соответствующему смещению пятна  $\Delta z'$  на фотоприемнике, измеряя которое можно вычислить (по известным триангуляционным соотношениям) исходный параметр  $\Delta z$ . При этом для нахождения координаты пятна при обработке сигналов фотоприемника чаще всего используется метод центра тяжести.

Очевидно, что погрешность  $\delta z$  определения величины  $\Delta z$  однозначно зависит от погрешности  $\delta z'$  измерения величины  $\Delta z'$ . Далее с целью выделения составляющей погрешности, обусловленной лишь влиянием формы объекта и его положением, предположим, что поверхность объекта является идеальным диффузным рассеивателем, а объектив  $\mathcal{Z}$  формирует (с единичным увеличением) совершенное изображение пятна. При таком допущении распределение интенсивности света в изображении пятна будет идентичным (с точностью до проективных искажений) распределению света на поверхности объекта. В этом случае можно ограничиться рассмотрением распределения интенсивности света в пятне на поверхности объекта, которое зависит от многих факторов: параметров самого гауссова пучка, положения и наклона поверхности относительно пучка, формы поверхности объекта.

Рассмотрим далее влияние этих факторов для случаев объектов с плоской и цилиндрической поверхностями.

**Плоская поверхность.** Определим распределение света в пятне на контурируемом объекте с плоской поверхностью при падении на него гауссова пучка. Для описания гауссова пучка используем известные формулы [2] изменения амплитуды  $A(x, z)$  и полуширины пучка  $w(z)$  по мере распространения пучка вдоль оси  $z$ :

$$A(x, z) = A_0 \frac{w_0}{w(z)} \exp \left[ -\frac{x^2}{w(z)^2} \right], \quad (1)$$

$$w(z)^2 = w_0^2 \left[ 1 + \left( \frac{\lambda z}{\pi w_0^2} \right)^2 \right], \quad (2)$$

где  $x$  — координата в плоскости, ортогональной оси  $z$ ;  $A_0$  — амплитуда в центре пучка;  $w_0$  — полуширина перетяжки гауссова пучка (при  $z = 0$ );  $\lambda$  — длина волны света.

Пусть нормаль поверхности наклонена на угол  $\alpha$  относительно направления распространения пучка  $z$  (рис. 2). Путем несложных преобразований из (1) и (2) можно получить, что амплитуда света и ширина распределения на плоской поверхности объекта описываются выражениями

$$A(u, z) = A_0 \frac{w_0}{w_u(z)} \exp \left[ -\frac{u^2 \cos^2 \alpha}{w_u(z)^2} \right], \quad (3)$$

$$w_u(z)^2 = w_0^2 \left\{ 1 + \left[ \frac{\lambda(z - us \sin \alpha)}{\pi w_0^2} \right]^2 \right\}, \quad (4)$$

где  $u$  — координата на поверхности объекта;  $z$  — координата точки пересечения оси пучка и плоскости. Из анализа (3) и (4) следует, что если при  $z = 0$  распределение интенсивности света

$G(u) = |A(u, z)|^2$  вдоль оси  $u$  с ростом угла наклона поверхности лишь пропорционально уширяется (рис. 3), то при  $z \neq 0$  имеет место не только уширение распределения, но и нарушение его симметрии, т. е. оно принимает асимметричную форму (рис. 4). Причем с ростом угла наклона поверхности  $\alpha$  асимметрия увеличивается. Кроме того, в этом случае положение энергетического цен-

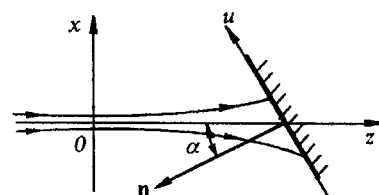


Рис. 2

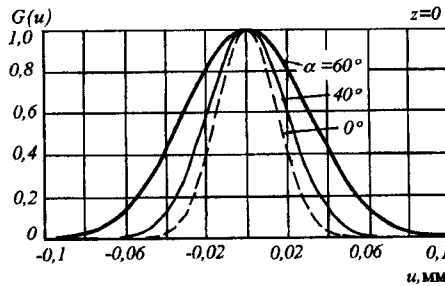


Рис. 3

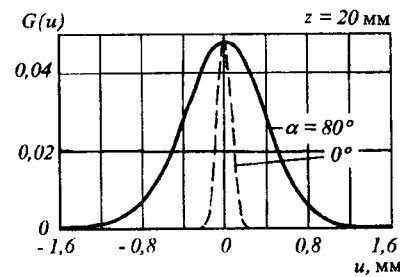


Рис. 4

тра (центра тяжести) светового пятна, определяемое по формуле

$$u_0 = \int uG(u)du / \int G(u)du, \quad (5)$$

зависит как от угла наклона поверхности (рис. 5), так и от положения поверхности относительно перетяжки гауссова пучка (рис. 6). Расчеты показывают, что при расположении поверхности, например, на расстоянии  $z = 20$  мм от перетяжки пучка шириной  $2w_0 = 60$  мкм под углом  $\alpha = 80^\circ$  указанное смещение  $u_0$  достигает  $\approx 7,5$  мкм. Ясно, что смещение центра тяжести пятна на поверхности приведет к соответствующему смещению положения изображения на фотоприемнике и таким образом к дополнительной погрешности измерения координаты объекта.

**Цилиндрическая поверхность.** Определим распределение света на поверхности объекта с цилиндрической поверхностью радиусом  $r$  при падении на него гауссова пучка. Пусть ось цилиндра перпендикулярна плоскости  $\{x, z\}$ , а нормаль к его поверхности (в точке падения гауссова пучка) наклонена на угол  $\alpha$  относительно оси пучка (рис. 7, a). Несложно получить, что координаты произвольной точки  $P$  на поверхности цилиндра определяются выражениями

$$x_p = r[\sin \alpha - \sin(\alpha - u/r)], \quad (6)$$

$$z_p = z + r[\cos \alpha - \cos(\alpha - u/r)], \quad (7)$$

здесь  $u$  — криволинейная координата вдоль поверхности цилиндра. Подстав-

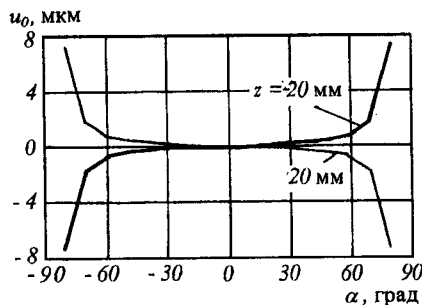


Рис. 5

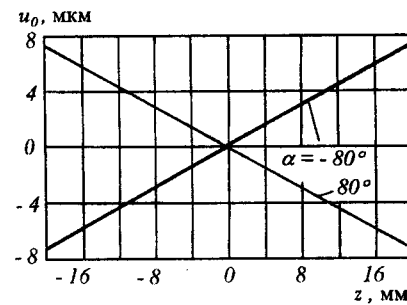


Рис. 6

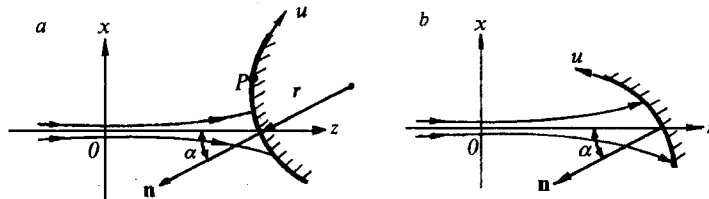


Рис. 7

ляя координаты  $(x_p, z_p)$  в (1) и (2), найдем распределение амплитуды света на поверхности объекта:

$$A(u, z) = A_0 \frac{w_0}{w_u(z)} \exp \left[ -\frac{r^2 [\sin \alpha - \sin(\alpha - u/r)]^2}{w_u(z)^2} \right], \quad (8)$$

где

$$w_u(z)^2 = w_0^2 \left\{ 1 + \left( \frac{\lambda}{\pi w_0^2} \right)^2 [z + r(\cos \alpha - \cos(\alpha - u/r))]^2 \right\}. \quad (9)$$

Заметим, что эти же выражения описывают распределение света на вогнутой цилиндрической поверхности (рис. 7, б) при замене  $r$  на  $-r$ .

На рис. 8 приведено распределение  $G(u) = |A(u, z)|^2$  при  $z = 0$  и различных углах наклона  $\alpha$  нормали поверхности при радиусе  $r = 10$  мм. Видно, что при увеличении угла наклона  $\alpha$  это распределение не только уширяется, но и становится асимметричным. На рис. 9 приведены аналогичные распределения для  $z = 10$  мм. Из этих графиков видно увеличение асимметрии распределений при росте угла наклона. Положение энергетического центра светового пятна зависит не только от угла  $\alpha$  и положения поверхности относительно перетяжки пучка (как и в случае с плоской поверхностью), но также и от радиуса кривизны поверхности объекта. На рис. 10 приведена такая зависимость  $u_0$  от радиуса  $r$  для двух значений взаимного положения пучка и поверхности:  $\alpha = +80^\circ$ ,  $\alpha = -80^\circ$ . При расположении, например, вогнутой цилиндрической поверхности с радиусом  $r = -8$  мм на расстоянии 10 мм от перетяжки пучка (с шириной 60 мкм) под углом  $\alpha = 80^\circ$  указанное смещение положения центра тяжести более 50 мкм. При увеличении  $|r|$  цилиндрическая поверхность приближается к плоской и зависимости  $u_0$  от угла наклона поверхности и ее положения стремятся к виду, приведенному на рис. 5 и 6.

Таким образом, если при измерении объекта заранее не известны радиус кривизны его поверхности и положение относительно зондирующего гауссова

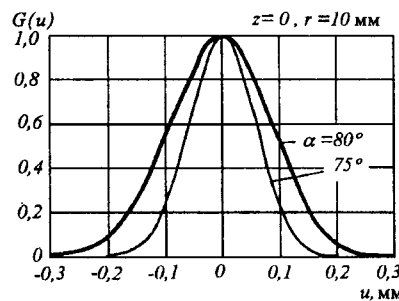


Рис. 8

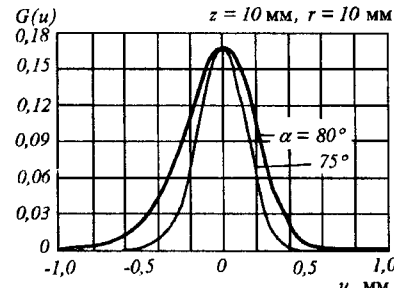


Рис. 9

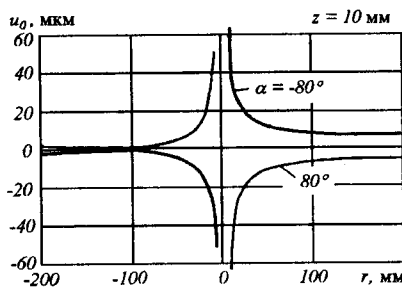


Рис. 10

наклона поверхности относительно направления распространения гауссова пучка, но и принимает в общем случае асимметричную форму. Эта асимметрия значительно увеличивается с ростом угла наклона поверхности. Кроме того, для объектов с цилиндрической поверхностью положение энергетического центра светового пятна зависит также и от радиуса кривизны поверхности.

При определении геометрии объектов сложной формы приведенные факторы вызывают дополнительные погрешности, достигающие значительных величин (десятков микрометров). Однако при наличии априорной информации о форме поверхности объекта и его положении (которая может быть получена, например, лазерным триангуляционным методом) эти погрешности можно скомпенсировать. Соответствующие корректирующие функции следуют из приведенных в настоящей статье распределений.

Результаты проведенных исследований могут быть положены в основу разработки лазерных триангуляционных систем с улучшенными точностными характеристиками.

#### СПИСОК ЛИТЕРАТУРЫ

1. Hausler G., Herrmann J. M. Physical limits of 3D-sensing // Proc. of SPIE. 1992. 1822. P. 150. — 158
2. Маркузе Д. Оптические волноводы: Пер. с англ. /Под ред. В. В. Шевченко. М.: Мир, 1974.

*Поступила в редакцию 6 октября 1995 г.*